



凍結融解2サイクル目以降のAE発生数が1サイクル目に比べて少ないので、微小クラックによってAEの伝播が妨げられることが原因の一つと考えられる。しかし、図-4から判断する限り、振幅の減少傾向は見られない。バルスを受信した際の振幅は、実際に発生していると思われるAEの振幅に比べ大きいため、微小クラックの形成による伝播特性の変化を評価することができなかったと考えられる。

図-5は、センサ感度の低下によって、65A3Pの1~3サイクルで検出された278個のAE発生数がどれだけ減少するかを示したものである。ディスクリレベルを55dBと設定しているが、これは、各センサが55dB以上の振幅を持つAEを検出できることを意味している。センサの感度が低下することにより、55dB以上の振幅を持つAEを検出できる状態から、例えば60dB以上の振幅を持つAEしか検出できない状態になる。検出できるAEの振幅を、60、65、70、75、80以上と仮定し、検出されるAEの数を求めた。図-5より、センサ感度が低下し、大きな振幅のAEしか検出できなくなるの

で、AE発生数はかなり減少することがわかる。本研究では、センサを4つ用いて計測を行っているが、そのうちの1つのセンサ感度が低下した場合にも、検出されるAE発生数に大きな影響を及ぼす。

今後は、伝播特性が発生数に及ぼす影響をより明確にしていく。

【参考文献】1) 嶋田 久俊、堺 孝司：モルタルの凍害手法としてのAE計測、コンクリート工学年次論文報告集、第13巻、No.1、pp.467-472

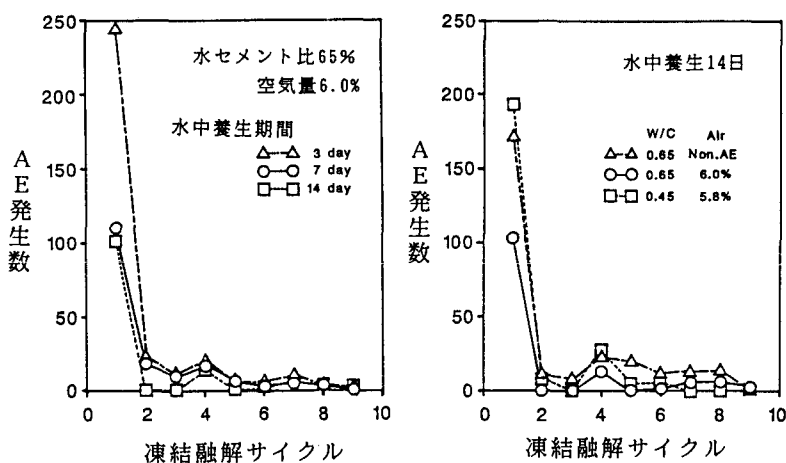


図-2. 凍結融解サイクルと発生数

図-3. 凍結融解サイクルと発生数

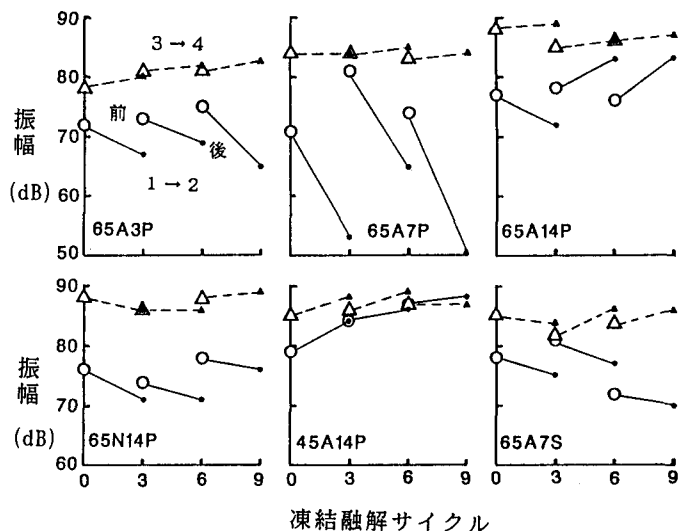


図-4. バルスを発信させた時の受信時の振幅

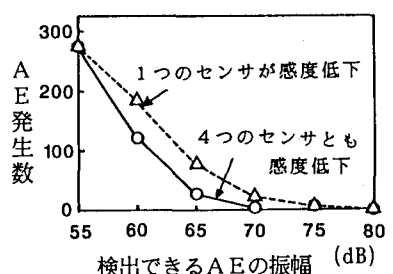


図-5. センサ感度が発生数に及ぼす影響